

Концентрационная зависимость плотности состояний в парамагнетиках Паули $\text{YNi}_{5-x}\text{Cu}_x$

А. М. Гуревич¹, В. М. Дмитриев^{1,2}, А. С. Ермоленко³, В. Н. Еропкин¹,
А. Г. Кучин³, Н. Н. Пренцлау¹, А. В. Терехов¹

¹ Физико-технический институт низких температур им. Б. И. Веркина НАН Украины
пр. Ленина, 47, г. Харьков, 61103, Украина
E-mail: dmitriev@ilt.kharkov.ua

² International Laboratory of High Magnetic Fields and Low Temperatures
95 Gajowicka Str., 53-421 Wroclaw, Poland

³ Институт физики металлов, ул. Софьи Ковалевской, 18, г. Екатеринбург, 620219, Россия

Статья поступила в редакцию 12 апреля 2001 г.

Измерены температурная и концентрационная зависимости теплоемкости C и поверхностного сопротивления R_s соединения $\text{YNi}_{5-x}\text{Cu}_x$ ($x = 0; 0,1; 0,2; 0,25; 0,6$ и $1,25$). По измеренным значениям $C(x)$ и $R_s(x)$ определена концентрационная зависимость плотности состояний $N(E, x)$. При $x = 0,2$ на зависимости $N(E, x)$ наблюдается максимум. Приведенные результаты являются непосредственным экспериментальным подтверждением немонотонной зависимости $N(E, x)$, ранее предсказанной теоретически. Обнаружено, что при некоторых значениях x низкотемпературная теплоемкость соединений $\text{YNi}_{5-x}\text{Cu}_x$ увеличивается с понижением температуры, а на зависимости электросопротивления от температуры существует минимум при $T = 10$ К. Ниже 10 К температурная зависимость электросопротивления подчиняется логарифмическому закону.

Виміряно температурну та концентраційну залежності теплоємності C та поверхневого опору R_s сполуки $\text{YNi}_{5-x}\text{Cu}_x$ ($x = 0; 0,1; 0,2; 0,25; 0,6$ та $1,25$). По виміряним значенням $C(x)$ та $R_s(x)$ визначено концентраційну залежність густини станів $N(E, x)$. При $x = 0,2$ на залежності $N(E, x)$ спостерігається максимум. Приведені результати являються безпосереднім експериментальним підтвердженням немонотонної залежності $N(E, x)$, що раніше була передбачена теоретично. Виявлено, що при деяких значеннях x низькотемпературна теплоємність сполук $\text{YNi}_{5-x}\text{Cu}_x$ збільшується із зменшенням температури, а на залежності електричного опору від температури існує мінімум при $T = 10$ К. Нижче 10 К температурна залежність електричного опору підпорядковується логарифмічному закону.

PACS: 71.20.Fi, 65.40.Em, 72.15.Eb

1. Введение

Теоретически показано, что в псевдобинарном сплаве $\text{YNi}_{5-x}\text{Cu}_x$ — типичном парамагнетике Паули — с увеличением концентрации меди x плотность состояний $N(E)$ на уровне Ферми изменяется монотонно и достигает максимума при $x = 0,2$ [1,2].

Экспериментальное исследование $N(E)$ часто проводится с помощью измерений электронной теплоемкости C_e , магнитной восприимчивости χ и поверхностного электросопротивления R_s .

Экспериментальная зависимость $\chi(x)$, полученная в работе [3], качественно соответствует расчетным значениям магнитного момента $M(x)$, определенным из [1,2].

С целью получения более достоверных данных о зависимости плотности состояний $N(E)$ от содержания меди в соединении $\text{YNi}_{5-x}\text{Cu}_x$ в настоящей работе экспериментально исследованы электронная теплоемкость $C_e(x)$ и поверхностное сопротивление $R_s(x)$ ряда образцов $\text{YNi}_{5-x}\text{Cu}_x$ при различных значениях x .

Образцы и методика измерений

Исследованы поликристаллические образцы $\text{YNi}_{5-x}\text{Cu}_x$, где x принимает следующие значения: 0; 0,1; 0,2; 0,25; 0,6 и 1,25.

Температурную зависимость теплоемкости C измеряли методом абсолютной калориметрии в

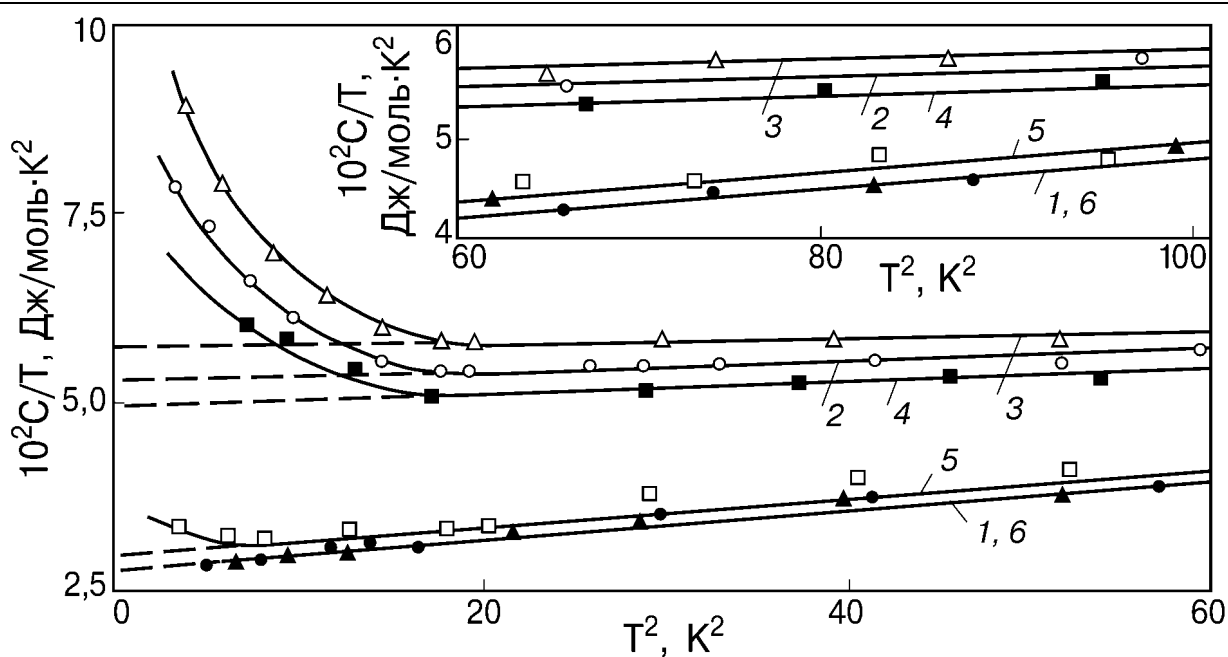


Рис. 1. Зависимость C/T от T^2 соединения $\text{YNi}_{5-x}\text{Cu}_x$ при различных значениях x : 0 (1); 0,1 (2); 0,2 (3); 0,25 (4); 0,6 (5) и 1,25 (6). На вставке — те же зависимости при $T^2 \approx 60\text{--}100$ К.

интервале температур 1,5–20 К. Образец массой 2–3 г помещали в медный герметизируемый контейнер, снабженный германиевым термометром сопротивления и нагревателем. Нагрев осуществляли ступенчатым методом. Погрешность измерения не превышала 1%.

Исследуемые образцы имеют сложную геометрию поверхности с неодинаковой площадью поперечного сечения, притом различную для образцов с разной концентрацией x . Это затрудняет точное определение абсолютного значения их удельного электросопротивления $\rho(x, T)$ по сопротивлению R , измеренному на постоянном токе. Поэтому для определения концентрационной зависимости $N(E)$ по омическим потерям исследовали R_s на частоте 2 МГц, где в полной мере проявляется классический скин-эффект. В температурном интервале 4,2–300 К R_s измеряли резонаторным методом, в качестве эталона служил медный образец [4]. Для измерения был изготовлен колебательный контур, при этом оловянный припой не использовался, так как переход олова в сверхпроводящее состояние при $T = 5\text{--}6$ К уменьшает точность измерений R_s , а также затрудняет определение влияния магнитного поля на омические потери соединения при гелиевых температурах. При этом мы учитывали, что $R_s^n \propto \rho$ ($n \approx 2$) как для диамагнетиков, так и для магнитных материалов [5].

Экспериментальные результаты

На рис. 1 представлены экспериментальные зависимости теплоемкости в температурном интервале 1,5–10 К в координатах C/T от T^2 . Экспериментально установлено, что при температурах выше 4 К температурная зависимость теплоемкости исследуемых соединений хорошо описывается выражением

$$C(T) = \gamma T + \beta T^3. \quad (1)$$

Первый член в правой части выражения представляет электронную C_e , а второй — решеточную теплоемкость. На рисунке видно, что при $T < 4$ К, для всех образцов, кроме соединений с $x = 0$ и $x = 1,25$, с понижением температуры наблюдается рост теплоемкости, различный для разных значений x . Поэтому при определении γ в (1) методом экстраполяции отношения C/T как функции T^2 к $T = 0$ использовали значения теплоемкости в диапазоне 4–10 К.

Температурная зависимость R_s соединения YNi_5 , измеренная на частоте 2 МГц в интервале температур 4,2–300 К, приведена на рис. 2, а. Кривые $R_s(T)$ сплавов $\text{YNi}_{5-x}\text{Cu}_x$ подобны приведенной на рис. 2, а, поэтому здесь не показаны. Как видно на рис. 2, а, в интервале температур 50–300 К зависимость $R_s(T)$ близка к линейной, а при $T < 50$ К поверхностное сопротивление слабо зависит от температуры.

Укажем, что для всех исследованных образцов при $T \approx (270 \pm 5)$ К наблюдается аномалия на зависимости R_s в виде небольшого отклонения от

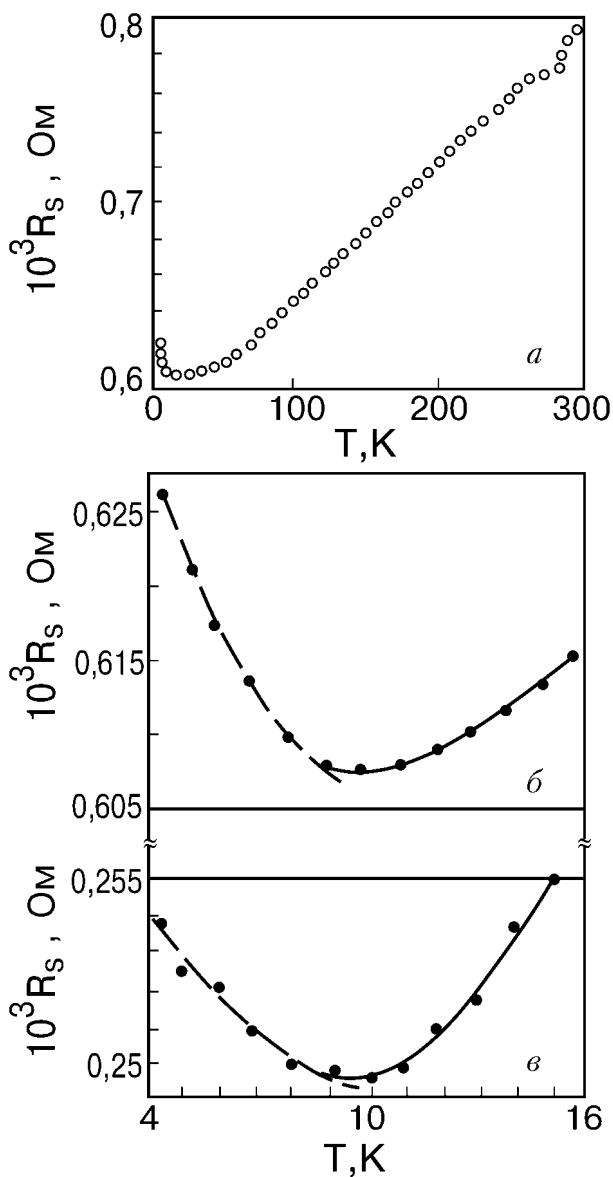


Рис. 2. Температурная зависимость R_s YNi_5 на частоте 2 МГц (а). Зависимость $R_s(T)$ в интервале температур 4,2–16 К: YNi_5 (б) и $\text{YNi}_{4,8}\text{Cu}_{0,2}$ (в). Пунктир – $R_s^2 \propto (\ln 1/T)$.

прямолинейного хода. В образцах $\text{YNi}_{5-x}\text{Cu}_x$ с $x = 0$ и $x = 0,2$ также наблюдается незначительный минимум R_s в интервале температур 35–45 К (на рисунке не показан).

Экспериментально обнаружено, что в температурном интервале 4,2–300 К наблюдается небольшое ($\sim 0,5$ –1%) отрицательное магнитосопротивление для образцов $\text{YNi}_{5-x}\text{Cu}_x$ с $x = 0$ и $x = 1,25$. В соединениях с $x = 0,1; 0,25$ и $0,6$ влияние постоянного магнитного поля на омические потери весьма слабое ($< 0,5\%$) и проявляется лишь при $T < 100$ К, а в системах с $x = 0,2$ оно вообще отсутствует.

Установлено, что для всех исследованных образцов при различных x на температурной за-

висимости R_s при $T = 10$ К наблюдается минимум (см. рис. 2, б, в). Пунктиром на рис. 2, б, в показана рассчитанная температурная зависимость $R_s \propto (\ln T^{-1})^{0,5}$, которая подтверждает логарифмический рост измеренного удельного электросопротивления ρ с понижением температуры ниже 10 К по закону $\rho(T) \propto R_s^2(T)$.

По данным $C(T)$ определены коэффициенты γ и β в выражении (1) для всех исследованных образцов. На рис. 1 видно, что коэффициент β (угол наклона прямых) мало отличается для образцов с различной концентрацией меди и, следовательно, температура Дебая, равная 389 К для образца с $x = 0$, с увеличением x изменяется незначительно (5%). В то же время коэффициент γ изменяется существенно и немонотонно. На рис. 3, а представлена полученная концентрационная зависимость γ (точки), из которой видно, что γ максимален при $x = 0,2$.

На этом же рисунке представлена относительная концентрационная зависимость разности теплоемкостей, измеренных при $T = 2$ К и ее регулярной зависимости C_r (т.е. экстраполяция из высокотемпературной области) (на рис. 1 она показана пунктиром).

На рис. 3, б (кривая 1) приведена зависимость $R_s(x)$ при 10 К. Видно, что при $x = 0,2$ поверхностное сопротивление имеет минимальное значение. Здесь же показана концентрационная зависимость разности поверхностных сопротивлений, измеренных при температурах 4,2 и 10 К, приведенной к $R_s(10)$ (кривая 2).

Из рис. 3, а, б следует, что зависимости $\gamma(x)$ и $[(C - C_r)/C_r](x)$ практически совпадают, а между кривыми $[(R_s(4,2) - R_s(10))/R_s(10)](x)$ и $R_s(x)$ наблюдается корреляционная связь.

Обсуждение результатов

Высокие значения температуры Дебая всех исследованных соединений $\text{YNi}_{5-x}\text{Cu}_x$ обуславливают продолжительность (вплоть до 10 К) линейного участка отношения C/T как функции T^2 , что дает возможность достоверно определить $\gamma(T)$. Для YNi_5 нами получено значение γ равное 28 мДж·К⁻²·моль⁻¹. Расчетное значение $\gamma = 20$ мДж·К⁻²·моль⁻¹ определено в [2]. В работе [6] экспериментально получено значение $\gamma = 37$ мДж·К⁻²·моль⁻¹, хотя величина решеточного вклада в теплоемкость совпадает с полученной нами. То, что экспериментальные значения γ больше расчетного, указывает на существенное влияние обменных и электрон-фононных взаимодействий, а также спиновых флуктуаций [7,8]. Они определяют усиливающий фактор, который

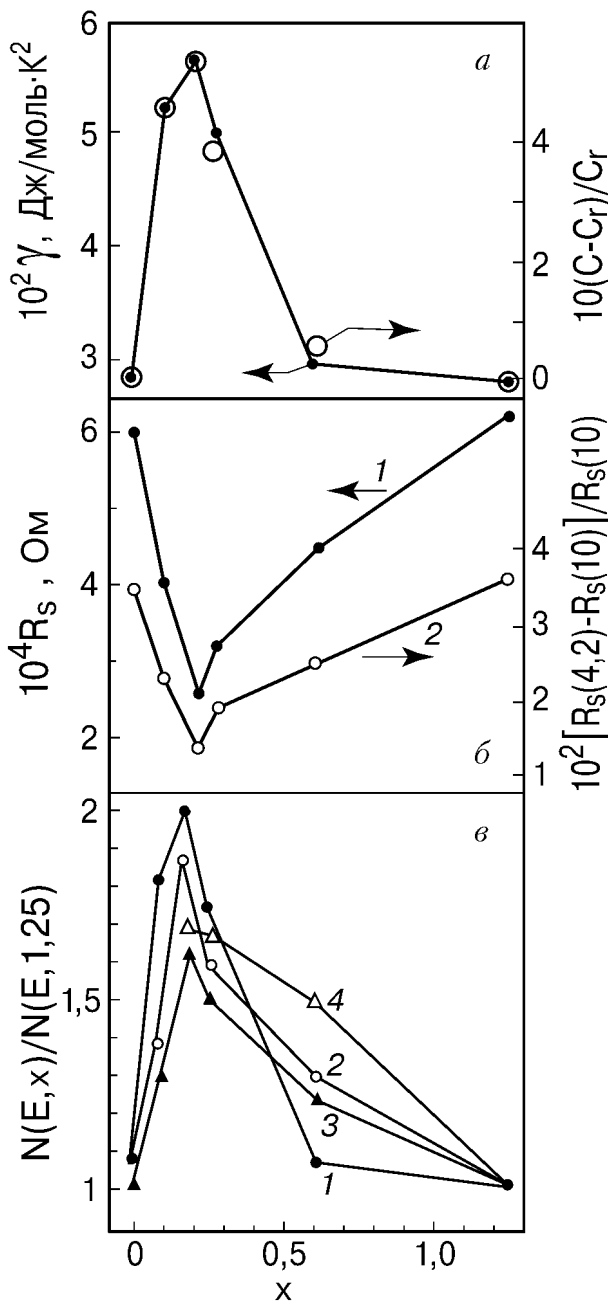


Рис. 3. Концентрационные зависимости γ (точки), $(C - C_r)/C_r$ (кружки) (а); $R_s(10)$ (1), $(R_s(4,2) - R_s(10))/R_s(10)$ (2) (б); $N(E, x)/N(E, 1,25)$, определенные по теплоемкости (1), омическим потерям (2), магнитной восприимчивости (3) и теоретически из [1,2] (4) (в).

необходимо учитывать при вычислении $N(E)$ по экспериментальным данным для γ , χ или ρ [7,8]. Поскольку нас интересует концентрационная зависимость $N(E)$, а не абсолютные значения $N(E)$, то на рис. 3,в приведены концентрационные зависимости относительной плотности состояний $N(E, x)/N(E, 1,25)$, вычисленные с учетом экспериментальных значений γ (кривая 1) и удельного электросопротивления $\rho \propto R_s^2$ (кривая 2) по стандартным формулам, приведенным в [9,10]. Здесь же представлены концентрационные зависимости,

полученные из измерений магнитной восприимчивости [3] (кривая 3) и рассчитанные теоретически из [1,2] (кривая 4).

На рис. 3,в видно, что зависимость $N(E, x)/N(E, 1,25)$ немонотонна и при $x = 0,2$ наблюдается максимальное значение $N(E)$ независимо от того, по какому из измеренных параметров вычислена плотность состояний — теплоемкости, электросопротивлению или магнитной восприимчивости. Именно это обстоятельство, а также подобие кривых 1–4 на рис. 3,в дает основание утверждать о соответствии приведенных в [1,2] теоретических результатов полученным экспериментально.

Зависимости на рис. 3,в построены в предположении, что указанные выше усиливающие факторы не зависят от x . Если же такая зависимость существует, то она, скорее, повлияет на остроту максимума, чем на его положение на оси x .

Немонотонная концентрационная зависимость $N(E)$ может быть объяснена следующим образом. Для бинарного сплава YNi_5 теоретическая кривая $N(E)$ имеет небольшой локальный максимум несколько выше уровня Ферми [2]. По мере замещения Ni на Cu происходит заполнение $3d$ -зоны, так как в меди $3d$ -электронов больше, чем в Ni. В результате для системы $YNi_{5-x}Cu_x$ уровень Ферми смещается в сторону больших энергий и проходит через максимум, что и обуславливает немонотонный характер изменения $N(E)$ с изменением концентрации меди.

Полученные нами результаты для соединения $YNi_{5-x}Cu_x$ практически совпадают с полученными в работе [7] для систем $Lu(Co_{1-x}Ga_x)_2$ и $Lu(Co_{1-x}Sn_x)_2$. При $x = 0$ никаких аномалий теплоемкости не наблюдается и для $LuCo_2$ $\gamma = 24,6$ мДж·К⁻²·моль⁻¹, что близко к значению γ для YNi_5 , полученному нами. Но уже малые добавки Cu, Ga или Sn заметно влияют на параметры систем. В частности, растет значение γ и при температуре ниже 4 К наблюдается заметный рост отношения C/T . Вместе с тем значительное количество допирующего элемента практически не влияет на свойства соединения. При некоторых значениях x как в $YNi_{5-x}Cu_x$, так и в $Lu(Co_{1-x}Sn_x)_2$, значения γ и χ проходят через максимумы, причем отношения $\gamma(x)_{\max}/\gamma(0)$ и $\chi(x)_{\max}/\chi(0)$ не совпадают.

Полученные нами результаты и анализ результатов, приведенных в работах [1–3,7], указывают на то, что немонотонные концентрационные зависимости γ , χ и ρ ряда парамагнитных псевдобинарных сплавов вызваны особенностями их электронной структуры. При этом существенными являются

два фактора: влияние допирования на ширину d -зоны и взаимное смещение уровня Ферми и локальной плотности состояний допируемого и допирующего элементов. Сопоставление зависимостей $\gamma(x)$ и $R(x)$ указывает на то, что именно фактическая плотность состояний на уровне Ферми является определяющей. Таким образом, мы полагаем, что увеличение γ при допировании связано с увеличением $N(E_F)$, происходящем на фоне сильных спиновых флуктуаций электрон-фононных и других взаимодействий.

Интересно отметить, что рост отношения C/T для различных x при $T < 4$ К совпадает с концентрационной зависимостью $\gamma(x)$, как это видно на рис. 3,а. Это означает, что те взаимодействия в системе, которые обуславливают немонотонный характер концентрационной зависимости $\gamma(x)$, ответственны также за низкотемпературные аномалии теплоемкости. Однако при низких температурах электросопротивление образцов возрастает с понижением T . Таким образом, если при допировании рост γ сопровождался снижением электросопротивления (см. рис. 3,б, кривая 1), то увеличение отношения C/T с понижением температуры происходит на фоне возрастающего электросопротивления (рис. 1 и 2,б,в). Такое поведение системы может быть связано с утяжелением носителей заряда.

Интересным представляется обнаруженный минимум на температурной зависимости электросопротивления (рис. 2,б,в). Глубина минимума электросопротивления зависит от концентрации меди и достигает экстремального значения при $x = 0,2$. В то же время температура, при которой наблюдается минимум электросопротивления, не зависит от x . При уменьшении температуры ниже той, при которой наблюдается минимум омических потерь, сопротивление увеличивается по логарифмическому закону, что характерно для эффекта Кондо [11].

Заклучение

По экспериментально измеренным концентрационным зависимостям теплоемкости и поверхностного сопротивления соединения $YNi_{5-x}Cu_x$ установлено, что его плотность состояний с повышением концентрации меди изменяется немонотонно и проходит через максимум при $x = 0,2$. Это является прямым экспериментальным подтверждением ранее предсказанной теоретически зависимости $N(E, x)$ соединения $YNi_{5-x}Cu_x$.

Обнаружены и исследованы низкотемпературные аномалии теплоемкости (увеличение ее значения с понижением температуры).

Обнаружена особенность на температурной зависимости поверхностного сопротивления, которая наблюдается в виде минимума при $T = 10$ К. При изменении содержания меди в соединении температура, при которой наблюдается минимум, остается неизменной, а глубина минимума оказывается наименьшей при $x = 0,2$.

Работа выполнена при поддержке Министерства образования и науки Украины, Договор № 2М/75-2000, а также Российского фонда фундаментальных исследований, проект Р2001 — Урал № 01-02-96420.

1. M. Simizu, J. Inoue, and S. Nagasava, *J. Phys.* **F14**, 2673 (1984).
2. M. Simizu, M. Miyaraki, and J. Inoue, *JMMM* **74**, 309 (1988).
3. A. G. Kuchin, A. S. Ermolenko, V. J. Khrabrov, G. M. Makarova, and E. J. Belozeroz, *JMMM* **159**, L309 (1996).
4. В. М. Дмитриев, М. Н. Офицеров, Н. Н. Пренцлау, *Межвед. Н-Т сб. Радиотехника*, вып. **97**, 91 (1993).
5. В. Л. Гуревич, *ЖТФ* **28**, В10, 2352 (1958).
6. F. Kayzel, *Magnetic and Thermodynamic Properties of RNi₅ Compounds*, Thesis, Amsterdam (1997).
7. K. Murata, K. Fukamichi, T. Sakakibara, T. Goto, and K. Suzuki, *J. Phys.: Condens. Matter* **5**, 1525 (1993).
8. Lars Nordström, M. S. S. Brooks, and Börje Johansson, *Phys. Rev.* **B46**, 3459 (1992).
9. П. Де Жен, *Сверхпроводимость металлов и сплавов*, Мир, Москва (1968).
10. Б. Г. Лившиц, *Физические свойства металлов и сплавов*, Гос. Науч.-Техн. изд. машиностроительной литературы, Москва (1959).
11. А. А. Абрикосов, *Основы теории металлов*, Наука, Москва (1987).

Concentration dependence of density of states in Pauli paramagnets $YNi_{5-x}Cu_x$

A. M. Gurevich, V. M. Dmitriev, A. S. Ermolenko, V. N. Eropkin, A. G. Kuchin, N. N. Prentslau, and A. V. Terekhov

The temperature and concentration dependences of heat capacity C and surface resistance R_s of the compound $YNi_{5-x}Cu_x$ ($x = 0; 0.1; 0.2; 0.25; 0.6; 1,25$) are measured. The concentration dependence of the density of states $N(E, x)$ is estimated from the measured values of $C(x)$ and $R_s(x)$. A maximum of $N(E, x)$ is observed at $x = 0.2$. The results reported are direct experimental evidence of the nonmonotonic dependence $N(E, x)$ predicted theoretically. It is found that at certain values of x the low temperature heat capacity of the compounds $YNi_{5-x}Cu_x$ grows with decreasing temperature, while the dependence $R_s(T)$ displays a minimum at $T = 10$ К. Below 10 К the temperature dependence of the electric resistance follows the logarithmic law.